

# Luoghi critici per la ricostruzione di scene dinamiche

## una applicazione di geometria algebrica proiettiva alla computer vision

Tesi di laurea di: Luca Magri

Relatrice: Prof.ssa Marina Bertolini

13 Dicembre 2011



Estrarre informazioni da una serie di immagini (foto, video).

## Problema della ricostruzione

A partire da una serie di immagini di una scena ricostruire la scena  $3D$  a meno di una proiezione.

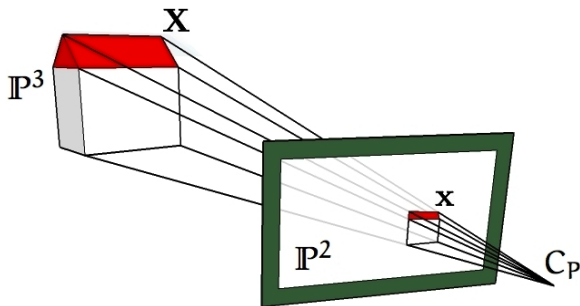
Estrarre informazioni da una serie di immagini (foto, video).

## Problema della ricostruzione

A partire da una serie di immagini di una scena ricostruire la scena  $3D$  a meno di una proiezione.

# Modello proiettivo di un'immagine statica

Uno scatto fotografico una proiezione lineare  $P: \mathbb{P}^3 \dashrightarrow \mathbb{P}^2$  di centro  $C_P$ .



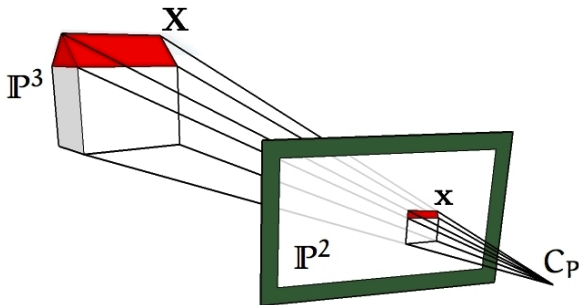
È quindi rappresentato come una matrice  $3 \times 4$  di rango massimo definita a meno di moltiplicazioni per matrici invertibili:

$$P = \begin{pmatrix} p^1 \\ p^2 \\ p^3 \end{pmatrix}.$$

$X \in \mathbb{P}^3$  punto della scena,  $x \in \mathbb{P}^2$  punto della vista, vale  $\lambda x = PX$

# Modello proiettivo di un'immagine statica

Uno scatto fotografico una proiezione lineare  $P: \mathbb{P}^3 \dashrightarrow \mathbb{P}^2$  di centro  $C_P$ .

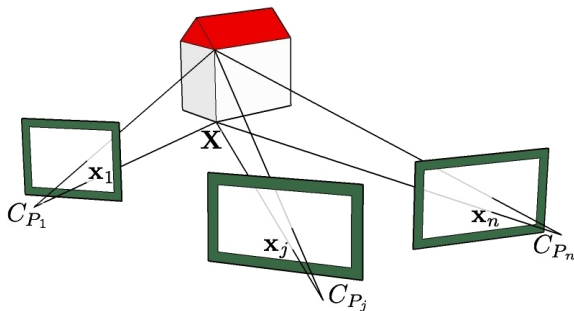


È quindi rappresentato come una matrice  $3 \times 4$  di rango massimo definita a meno di moltiplicazioni per matrici invertibili:

$$P = \begin{pmatrix} p^1 \\ p^2 \\ p^3 \end{pmatrix}.$$

$X \in \mathbb{P}^3$  punto della *scena*,  $x \in \mathbb{P}^2$  punto della *vista*, vale  $\lambda x = PX$

Consideriamo  $n$  immagini della stessa scena:  $n$  proiezioni  $P_i: \mathbb{P}^3 \dashrightarrow \mathbb{P}^2$ .



I punti  $x_i$  che sono proiezioni dello stesso punto  $X$  della scena si dicono **punti corrispondenti**.

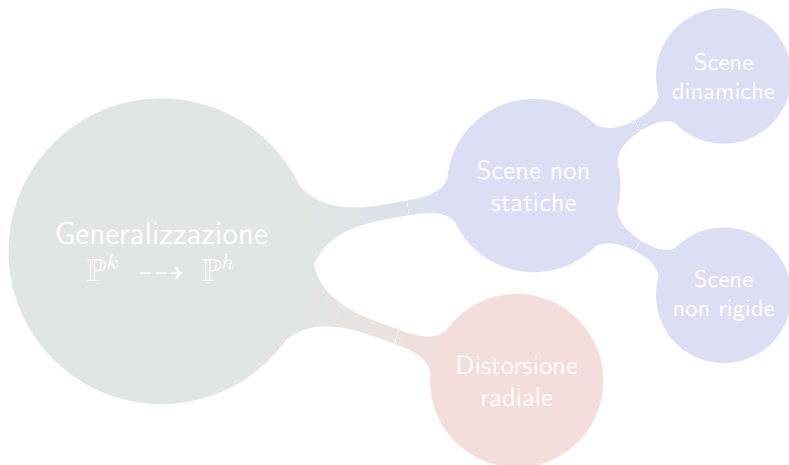
Ricostruzione per triangolazione.

# Spazi di dimensione arbitraria

Generalizzazione a proiezioni  $\mathbb{P}^k \dashrightarrow \mathbb{P}^h$

Matrici:  $P$  una matrice  $(k+1) \times (h+1)$  di rango massimo;

Centro:  $C_P$  uno spazio di dimensione  $k-h-1$ .

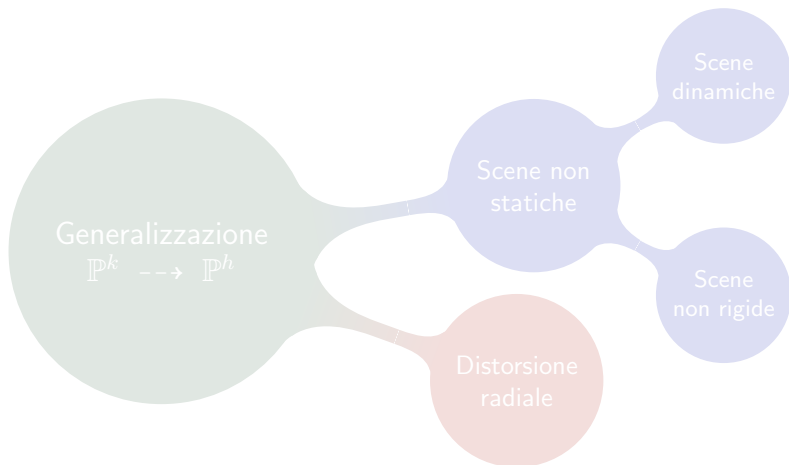


# Spazi di dimensione arbitraria

Generalizzazione a proiezioni  $\mathbb{P}^k \dashrightarrow \mathbb{P}^h$

**Matrici:**  $P$  una matrice  $(k+1) \times (h+1)$  di rango massimo;

**Centro:**  $C_P$  uno spazio di dimensione  $k-h-1$ .



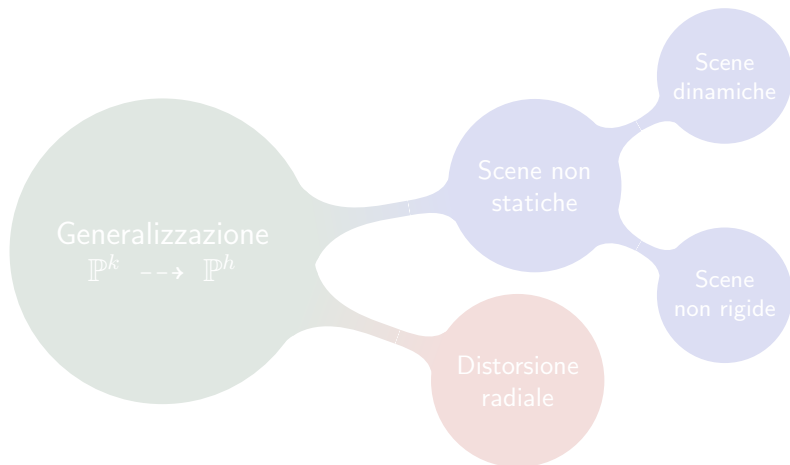


# Spazi di dimensione arbitraria

Generalizzazione a proiezioni  $\mathbb{P}^k \dashrightarrow \mathbb{P}^h$

**Matrici:**  $P$  una matrice  $(k+1) \times (h+1)$  di rango massimo;

**Centro:**  $C_P$  uno spazio di dimensione  $k-h-1$ .

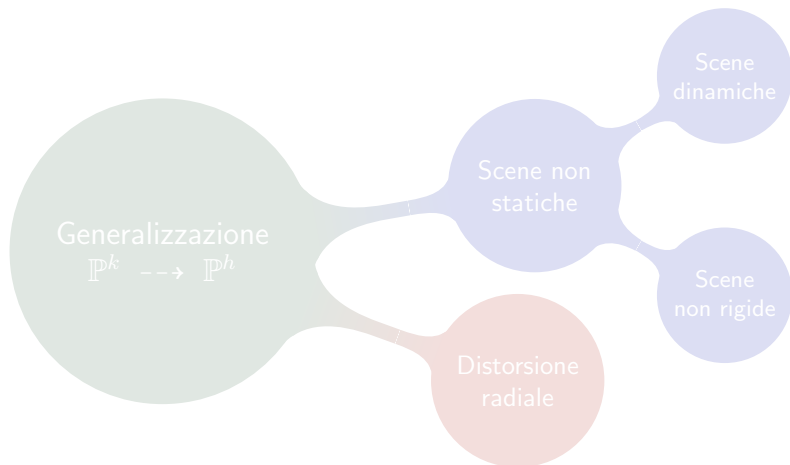


# Spazi di dimensione arbitraria

Generalizzazione a proiezioni  $\mathbb{P}^k \dashrightarrow \mathbb{P}^h$

**Matrici:**  $P$  una matrice  $(k+1) \times (h+1)$  di rango massimo;

**Centro:**  $C_P$  uno spazio di dimensione  $k-h-1$ .

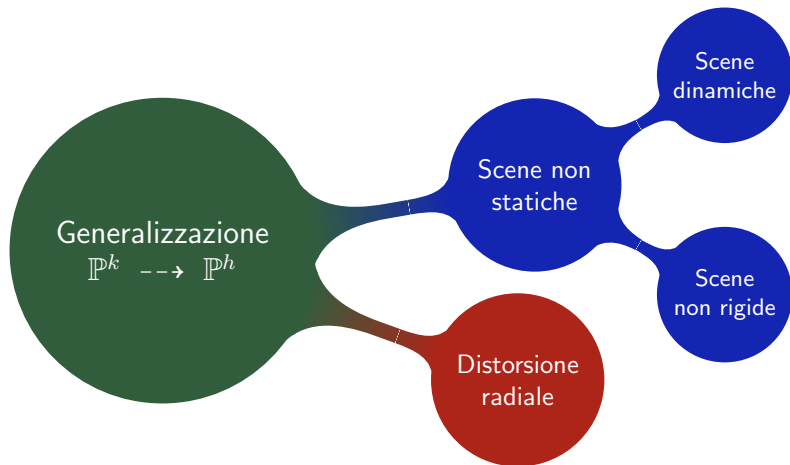


# Spazi di dimensione arbitraria

Generalizzazione a proiezioni  $\mathbb{P}^k \dashrightarrow \mathbb{P}^h$

**Matrici:**  $P$  una matrice  $(k+1) \times (h+1)$  di rango massimo;

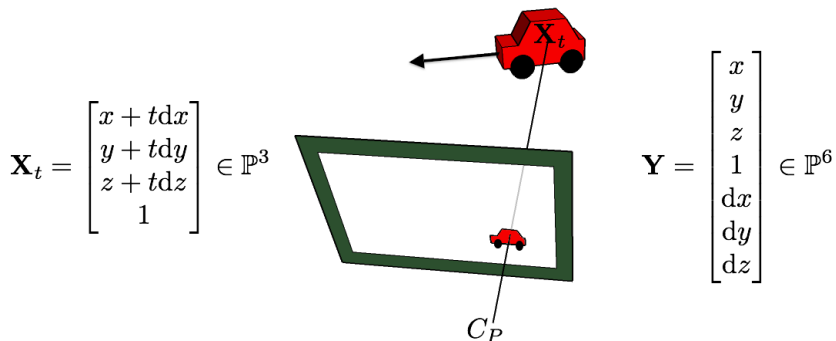
**Centro:**  $C_P$  uno spazio di dimensione  $k-h-1$ .



# Scene dinamiche

Una **scena dinamica** di  $\mathbb{P}^n$  è composta da punti  $\{\mathbf{X}_{it}\}$  le cui coordinate variano in funzione del parametro  $t$ .

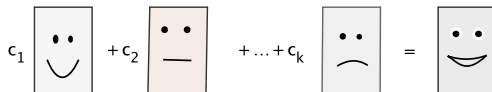
Possono essere interpretate come scene statiche in spazi di dimensione più alta.



La fotografia della scena dinamica è rappresentata con una proiezione  $\mathbb{P}^6 \dashrightarrow \mathbb{P}^2$  data dalla matrice  $3 \times 7$  della forma  $\tilde{P} = [P | t\mathbf{p}_1 | t\mathbf{p}_2 | t\mathbf{p}_3]$ .

# Scene non rigide

Un volto, così come viene modellizzato dalla *face recognition*, è un **oggetto non rigido**.



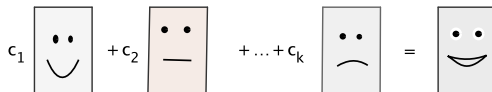
Una **scena non rigida** è una collezione di punti  $\{\mathbf{X}_i\}$  la cui forma può essere espressa come combinazione lineare di un insieme fissato di  $K$  punti presi sulle forme rigide base:

$$\mathbf{X}_i = \sum_{k=1}^K c_k \mathbf{B}_{ki}.$$

Una scena non rigida di  $\mathbb{P}^3$  può essere rappresentata in modo statico utilizzando proiezioni  $\mathbb{P}^{4K-1} \dashrightarrow \mathbb{P}^{3K-1}$ .

# Scene non rigide

Un volto, così come viene modellizzato dalla *face recognition*, è un **oggetto non rigido**.



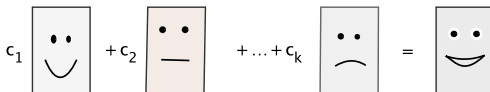
Una **scena non rigida** è una collezione di punti  $\{\mathbf{X}_i\}$  la cui forma può essere espressa come combinazione lineare di un insieme fissato di  $K$  punti presi sulle forme rigide base:

$$\mathbf{X}_i = \sum_{k=1}^K c_k \mathbf{B}_{ki}.$$

Una scena non rigida di  $\mathbb{P}^3$  può essere rappresentata in modo statico utilizzando proiezioni  $\mathbb{P}^{4K-1} \dashrightarrow \mathbb{P}^{3K-1}$ .

# Scene non rigide

Un volto, così come viene modellizzato dalla *face recognition*, è un **oggetto non rigido**.



The diagram shows a sequence of square boxes representing faces. The first box is light blue with a wide smile, labeled  $c_1$  to its left. This is followed by a plus sign, then a light orange box with a flat, straight line for a mouth, labeled  $+c_2$  to its left. This is followed by a plus sign, an ellipsis, another plus sign, and a light blue box with a slight frown, labeled  $+ \dots + c_k$  to its left. This is followed by an equals sign and a final light blue box with a wide smile, identical to the first one.

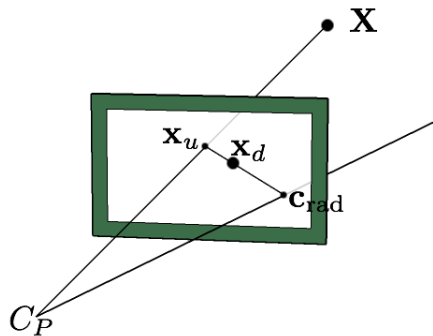
Una **scena non rigida** è una collezione di punti  $\{\mathbf{X}_i\}$  la cui forma può essere espressa come combinazione lineare di un insieme fissato di  $K$  punti presi sulle forme rigide base:

$$\mathbf{X}_i = \sum_{k=1}^K c_k \mathbf{B}_{ki}.$$

Una scena non rigida di  $\mathbb{P}^3$  può essere rappresentata in modo statico utilizzando proiezioni  $\mathbb{P}^{4K-1} \dashrightarrow \mathbb{P}^{3K-1}$ .

# Distorsione radiale

Fenomeno che riguarda le camere reali.  
La proiezione non è lineare.

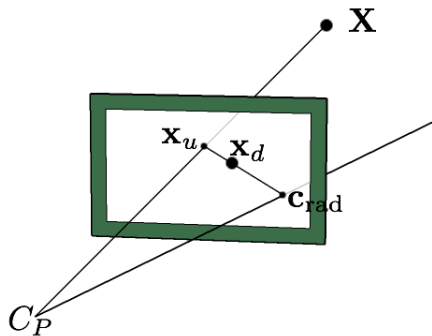


Si dimostra che può essere corretta introducendo una proiezione  $Q: \mathbb{P}^2 \dashrightarrow \mathbb{P}^1$  detta **camera radiale 1D** tale che  $Q: x_d \mapsto \ell_{rad}$ .



# Distorsione radiale

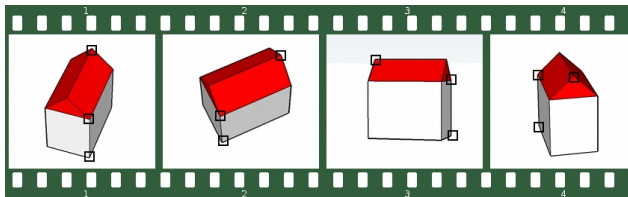
Fenomeno che riguarda le camere reali.  
La proiezione non è lineare.



Si dimostra che può essere corretta introducendo una proiezione  $Q: \mathbb{P}^2 \dashrightarrow \mathbb{P}^1$  detta **camera radiale 1D** tale che  $Q: x_d \mapsto l_{rad}$ .

# Ricostruzione della scena

Matching dei punti: Si individua nelle diverse immagini un numero sufficiente  $N$  di  $n$ -uple di punti corrispondenti;



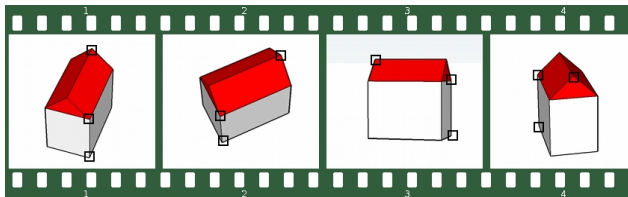
Ricostruzione dei tensori: la corrispondenza tra i punti delle varie viste può essere espressa con degli strumenti di algebra multilineare: i **tensori di grassmann  $n$ -focali**. Si sostituiscono le coordinate dei punti corrispondenti nelle equazioni individuate dai tensori di Grassmann;

Calibrazione delle camere: dalle entrate dei tensori si ricavano le matrici di proiezione  $P_j$  e i relativi centri;

Ricostruzione della scena: si ricostruisce la scena e la sua evoluzione temporale.

# Ricostruzione della scena

Matching dei punti: Si individua nelle diverse immagini un numero sufficiente  $N$  di  $n$ -uple di punti corrispondenti;



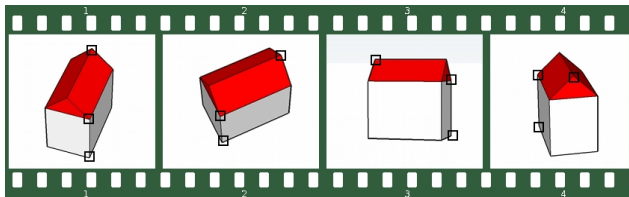
Ricostruzione dei tensori: la corrispondenza tra i punti delle varie viste può essere espressa con degli strumenti di algebra multilineare: i **tensori di grassmann  $n$ -focali**. Si sostituiscono le coordinate dei punti corrispondenti nelle equazioni individuate dai tensori di Grassmann;

Calibrazione delle camere: dalle entrate dei tensori si ricavano le matrici di proiezione  $P_j$  e i relativi centri;

Ricostruzione della scena: si ricostruisce la scena e la sua evoluzione temporale.

# Ricostruzione della scena

**Matching dei punti:** Si individua nelle diverse immagini un numero sufficiente  $N$  di  $n$ -uple di punti corrispondenti;



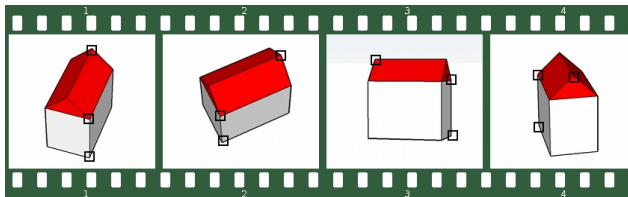
**Ricostruzione dei tensori:** la corrispondenza tra i punti delle varie viste può essere espressa con degli strumenti di algebra multilineare: i **tensori di grassmann  $n$ -focali**. Si sostituiscono le coordinate dei punti corrispondenti nelle equazioni individuate dai tensori di Grassmann;

**Calibrazione delle camere:** dalle entrate dei tensori si ricavano le matrici di proiezione  $P_j$  e i relativi centri;

**Ricostruzione della scena:** si ricostruisce la scena e la sua evoluzione temporale.

# Ricostruzione della scena

**Matching dei punti:** Si individua nelle diverse immagini un numero sufficiente  $N$  di  $n$ -uple di punti corrispondenti;



**Ricostruzione dei tensori:** la corrispondenza tra i punti delle varie viste può essere espressa con degli strumenti di algebra multilineare: i **tensori di grassmann  $n$ -focali**. Si sostituiscono le coordinate dei punti corrispondenti nelle equazioni individuate dai tensori di Grassmann;

**Calibrazione delle camere:** dalle entrate dei tensori si ricavano le matrici di proiezione  $P_j$  e i relativi centri;

**Ricostruzione della scena:** si ricostruisce la scena e la sua evoluzione temporale.

# Minimo numero di viste

Per proiezioni  $\mathbb{P}^k \dashrightarrow \mathbb{P}^h$  la ricostruzione della scena è possibile solo se si dispone di un numero  $n$  sufficiente di immagini.

Numero minimo di viste per la calibrazione delle camere

$$\omega_{k,h} = s + 1$$

se

$$k = sh + l \text{ con } 0 \leq l < h.$$

Se  $n \geq \omega_{k,h}$  si possono stimare i tensori di Grassmann, le matrici di proiezione, i centri e quindi ricostruire la scena. . .

A meno che i punti corrispondenti scelti nella fase di matching non provengano da punti della scena che determinano una **configurazione critica**.

# Minimo numero di viste

Per proiezioni  $\mathbb{P}^k \dashrightarrow \mathbb{P}^h$  la ricostruzione della scena è possibile solo se si dispone di un numero  $n$  sufficiente di immagini.

Numero minimo di viste per la calibrazione delle camere

$$\omega_{k,h} = s + 1$$

se

$$k = sh + l \text{ con } 0 \leq l < h.$$

Se  $n \geq \omega_{k,h}$  si possono stimare i tensori di Grassmann, le matrici di proiezione, i centri e quindi ricostruire la scena. . .

A meno che i punti corrispondenti scelti nella fase di matching non provengano da punti della scena che determinano una **configurazione critica**.

# Configurazioni critiche

Un insieme di punti  $\{\mathbf{X}_i\}$  con  $i = 1, \dots, N$ , di  $\mathbb{P}^k$  è una **configurazione critica** per  $n$  viste, se esistono

- un insieme di  $N$  punti  $\{\mathbf{Y}_i\}$  di  $\mathbb{P}^k$  non proiettivamente equivalente a  $\{\mathbf{X}_i\}$ ;
- due collezioni di matrici  $\{P_j\}_{j=1}^n$  e  $\{Q_j\}_{j=1}^n$  di dimensioni  $(h+1) \times (k+1)$  e di rango massimo tali che, a meno di una proiettività dei  $\mathbb{P}^h$  immagine, si abbia:

$$P_j \mathbf{X}_i = \lambda_{i,j} Q_j \mathbf{Y}_i.$$

Gli insiemi  $\{X_i\}$  e  $\{Y_i\}$  si dicono **configurazioni critiche associate** e le matrici  $\{P_j\}$  e  $\{Q_j\}$  sono dette **matrici coniugate associate**.



# Configurazioni critiche

Un insieme di punti  $\{\mathbf{X}_i\}$  con  $i = 1, \dots, N$ , di  $\mathbb{P}^k$  è una **configurazione critica** per  $n$  viste, se esistono

- un insieme di  $N$  punti  $\{\mathbf{Y}_i\}$  di  $\mathbb{P}^k$  non proiettivamente equivalente a  $\{\mathbf{X}_i\}$ ;
- due collezioni di matrici  $\{P_j\}_{j=1}^n$  e  $\{Q_j\}_{j=1}^n$  di dimensioni  $(h+1) \times (k+1)$  e di rango massimo tali che, a meno di una proiettività dei  $\mathbb{P}^h$  immagine, si abbia:

$$P_j \mathbf{X}_i = \lambda_{i,j} Q_j \mathbf{Y}_i.$$

Gli insiemi  $\{X_i\}$  e  $\{Y_i\}$  si dicono **configurazioni critiche associate** e le matrici  $\{P_j\}$  e  $\{Q_j\}$  sono dette **matrici coniugate associate**.

# Configurazioni critiche

Un insieme di punti  $\{\mathbf{X}_i\}$  con  $i = 1, \dots, N$ , di  $\mathbb{P}^k$  è una **configurazione critica** per  $n$  viste, se esistono

- un insieme di  $N$  punti  $\{\mathbf{Y}_i\}$  di  $\mathbb{P}^k$  non proiettivamente equivalente a  $\{\mathbf{X}_i\}$ ;
- due collezioni di matrici  $\{P_j\}_{j=1}^n$  e  $\{Q_j\}_{j=1}^n$  di dimensioni  $(h+1) \times (k+1)$  e di rango massimo tali che, a meno di una proiettività dei  $\mathbb{P}^h$  immagine, si abbia:

$$P_j \mathbf{X}_i = \lambda_{i,j} Q_j \mathbf{Y}_i.$$

Gli insiemi  $\{X_i\}$  e  $\{Y_i\}$  si dicono **configurazioni critiche associate** e le matrici  $\{P_j\}$  e  $\{Q_j\}$  sono dette **matrici coniugate associate**.

# Configurazioni critiche

Un insieme di punti  $\{\mathbf{X}_i\}$  con  $i = 1, \dots, N$ , di  $\mathbb{P}^k$  è una **configurazione critica** per  $n$  viste, se esistono

- un insieme di  $N$  punti  $\{\mathbf{Y}_i\}$  di  $\mathbb{P}^k$  non proiettivamente equivalente a  $\{\mathbf{X}_i\}$ ;
- due collezioni di matrici  $\{P_j\}_{j=1}^n$  e  $\{Q_j\}_{j=1}^n$  di dimensioni  $(h+1) \times (k+1)$  e di rango massimo tali che, a meno di una proiettività dei  $\mathbb{P}^h$  immagine, si abbia:

$$P_j \mathbf{X}_i = \lambda_{i,j} Q_j \mathbf{Y}_i.$$

Gli insiemi  $\{X_i\}$  e  $\{Y_i\}$  si dicono **configurazioni critiche associate** e le matrici  $\{P_j\}$  e  $\{Q_j\}$  sono dette **matrici coniugate associate**.

La condizione di proporzionalità tra i punti  $P_j \mathbf{X}_i$  e  $Q_j \mathbf{Y}_i$  può essere espressa utilizzando  $\binom{h+1}{2}$  opportune matrici  $E_{u,v}$  che confrontano tra loro coppie di coordinate di questi punti, ottenendo

$$(P_j \mathbf{X})^\top E_{u,v} Q_j \mathbf{Y} = 0.$$

Il **luogo critico**  $\mathcal{X}_h^k$  per la ricostruzione da  $n$  viste da  $\mathbb{P}^k$  a  $\mathbb{P}^h$  è dato dai punti  $\mathbf{X}$  per i quali esiste un punto  $\mathbf{Y}$  che soddisfa le equazioni precedenti. Siamo quindi portati a considerare il sistema di  $\binom{h+1}{2}n$  equazioni del tipo precedente e chiedere che abbia soluzioni  $\mathbf{Y}$  non banali.

La condizione di proporzionalità tra i punti  $P_j \mathbf{X}_i$  e  $Q_j \mathbf{Y}_i$  può essere espressa utilizzando  $\binom{h+1}{2}$  opportune matrici  $E_{u,v}$  che confrontano tra loro coppie di coordinate di questi punti, ottenendo

$$(P_j \mathbf{X})^\top E_{u,v} Q_j \mathbf{Y} = 0.$$

Il **luogo critico**  $\mathcal{X}_h^k$  per la ricostruzione da  $n$  viste da  $\mathbb{P}^k$  a  $\mathbb{P}^h$  è dato dai punti  $\mathbf{X}$  per i quali esiste un punto  $\mathbf{Y}$  che soddisfa le equazioni precedenti. Siamo quindi portati a considerare il sistema di  $\binom{h+1}{2}n$  equazioni del tipo precedente e chiedere che abbia soluzioni  $\mathbf{Y}$  non banali.

# La matrice associata

Questo avviene se la matrice dei coefficienti del sistema  $M$  di ordine  $\binom{h+1}{2}n \times (k+1)$  non ha rango massimo.

$$M(\mathbf{X}) = \begin{pmatrix} (\mathbf{p}_1^1 \cdot \mathbf{X})\mathbf{q}_1^2 - (\mathbf{p}_1^2 \cdot \mathbf{X})\mathbf{q}_1^1 \\ \vdots \\ (\mathbf{p}_j^u \cdot \mathbf{X})\mathbf{q}_j^v - (\mathbf{p}_j^v \cdot \mathbf{X})\mathbf{q}_j^u \\ \vdots \\ (\mathbf{p}_n^h \cdot \mathbf{X})\mathbf{q}_n^{h+1} - (\mathbf{p}_n^{h+1} \cdot \mathbf{X})\mathbf{q}_n^h \end{pmatrix},$$

Un punto  $\mathbf{X}$  della scena appartiene a  $\mathcal{X}_h^k$  se e solo se  $\text{rk}(M(\mathbf{X})) \leq k$ .

$\mathcal{X}_h^k$  è una varietà determinantale lineare.

# La matrice associata

Questo avviene se la matrice dei coefficienti del sistema  $M$  di ordine  $\binom{h+1}{2}n \times (k+1)$  non ha rango massimo.

$$M(\mathbf{X}) = \begin{pmatrix} (\mathbf{p}_1^1 \cdot \mathbf{X})\mathbf{q}_1^2 - (\mathbf{p}_1^2 \cdot \mathbf{X})\mathbf{q}_1^1 \\ \vdots \\ (\mathbf{p}_j^u \cdot \mathbf{X})\mathbf{q}_j^v - (\mathbf{p}_j^v \cdot \mathbf{X})\mathbf{q}_j^u \\ \vdots \\ (\mathbf{p}_n^h \cdot \mathbf{X})\mathbf{q}_n^{h+1} - (\mathbf{p}_n^{h+1} \cdot \mathbf{X})\mathbf{q}_n^h \end{pmatrix},$$

Un punto  $\mathbf{X}$  della scena appartiene a  $\mathcal{X}_h^k$  se e solo se  $\text{rk}(M(\mathbf{X})) \leq k$ .

$\mathcal{X}_h^k$  è una varietà determinantale lineare.

In letteratura sono stati studiati i luoghi critici per proiezioni

- da  $\mathbb{P}^3$  a  $\mathbb{P}^2$  (caso classico)
- da  $\mathbb{P}^k$  a  $\mathbb{P}^2$  (foto di scene dinamiche)

In questo elaborato vengono considerate proiezioni  $\mathbb{P}^k \dashrightarrow \mathbb{P}^h$  in particolare sono studiate alcune proiezioni su  $\mathbb{P}^3$ :

- ①  $\mathcal{X}_3^4$ ;
- ②  $\mathcal{X}_3^5$ ;
- ③  $\mathcal{X}_h^k$  quando  $k \equiv h - 1$  modulo  $h$ .



In letteratura sono stati studiati i luoghi critici per proiezioni

- da  $\mathbb{P}^3$  a  $\mathbb{P}^2$  (caso classico)
- da  $\mathbb{P}^k$  a  $\mathbb{P}^2$  (foto di scene dinamiche)

In questo elaborato vengono considerate proiezioni  $\mathbb{P}^k \dashrightarrow \mathbb{P}^h$  in particolare sono studiate alcune proiezioni su  $\mathbb{P}^3$ :

- ①  $\mathcal{X}_3^4$ ;
- ②  $\mathcal{X}_3^5$ ;
- ③  $\mathcal{X}_h^k$  quando  $k \equiv h - 1$  modulo  $h$ .

In letteratura sono stati studiati i luoghi critici per proiezioni

- da  $\mathbb{P}^3$  a  $\mathbb{P}^2$  (caso classico)
- da  $\mathbb{P}^k$  a  $\mathbb{P}^2$  (foto di scene dinamiche)

In questo elaborato vengono considerate proiezioni  $\mathbb{P}^k \dashrightarrow \mathbb{P}^h$  in particolare sono studiate alcune proiezioni su  $\mathbb{P}^3$ :

- ①  $\mathcal{X}_3^4$ ;
- ②  $\mathcal{X}_3^5$ ;
- ③  $\mathcal{X}_h^k$  quando  $k \equiv h - 1$  modulo  $h$ .

In letteratura sono stati studiati i luoghi critici per proiezioni

- da  $\mathbb{P}^3$  a  $\mathbb{P}^2$  (caso classico)
- da  $\mathbb{P}^k$  a  $\mathbb{P}^2$  (foto di scene dinamiche)

In questo elaborato vengono considerate proiezioni  $\mathbb{P}^k \dashrightarrow \mathbb{P}^h$  in particolare sono studiate alcune proiezioni su  $\mathbb{P}^3$ :

- $\chi_3^4$ ;
- $\chi_3^5$ ;
- $\chi_h^k$  quando  $k \equiv h - 1$  modulo  $h$ .

In letteratura sono stati studiati i luoghi critici per proiezioni

- da  $\mathbb{P}^3$  a  $\mathbb{P}^2$  (caso classico)
- da  $\mathbb{P}^k$  a  $\mathbb{P}^2$  (foto di scene dinamiche)

In questo elaborato vengono considerate proiezioni  $\mathbb{P}^k \dashrightarrow \mathbb{P}^h$  in particolare sono studiate alcune proiezioni su  $\mathbb{P}^3$ :

- ①  $\mathcal{X}_3^4$ ;
- ②  $\mathcal{X}_3^5$ ;
- ③  $\mathcal{X}_h^k$  quando  $k \equiv h - 1$  modulo  $h$ .

In letteratura sono stati studiati i luoghi critici per proiezioni

- da  $\mathbb{P}^3$  a  $\mathbb{P}^2$  (caso classico)
- da  $\mathbb{P}^k$  a  $\mathbb{P}^2$  (foto di scene dinamiche)

In questo elaborato vengono considerate proiezioni  $\mathbb{P}^k \dashrightarrow \mathbb{P}^h$  in particolare sono studiate alcune proiezioni su  $\mathbb{P}^3$ :

- ①  $\mathcal{X}_3^4$ ;
- ②  $\mathcal{X}_3^5$ ;
- ③  $\mathcal{X}_h^k$  quando  $k \equiv h - 1$  modulo  $h$ .

In letteratura sono stati studiati i luoghi critici per proiezioni

- da  $\mathbb{P}^3$  a  $\mathbb{P}^2$  (caso classico)
- da  $\mathbb{P}^k$  a  $\mathbb{P}^2$  (foto di scene dinamiche)

In questo elaborato vengono considerate proiezioni  $\mathbb{P}^k \dashrightarrow \mathbb{P}^h$  in particolare sono studiate alcune proiezioni su  $\mathbb{P}^3$ :

- ①  $\mathcal{X}_3^4$ ;
- ②  $\mathcal{X}_3^5$ ;
- ③  $\mathcal{X}_h^k$  quando  $k \equiv h - 1$  modulo  $h$ .

Proiezioni da  $\mathbb{P}^4 \dashrightarrow \mathbb{P}^3$ , siamo nel caso di 2 viste e  $M$  ha dimensioni  $12 \times 5$ . Studio in alcuni casi numerici utilizzando *Macaulay2*.

- la componente di dimensione massima è una superficie di grado 3 di  $\mathbb{P}^4$  non singolare ;
- $\mathcal{X}_3^4$  è una varietà determinantale propria, il generico luogo critico ha dimensione 2 e grado 3.

Proiezioni da  $\mathbb{P}^4 \dashrightarrow \mathbb{P}^3$ , siamo nel caso di 2 viste e  $M$  ha dimensioni  $12 \times 5$ . Studio in alcuni casi numerici utilizzando *Macaulay2*.

- la componente di dimensione massima è una superficie di grado 3 di  $\mathbb{P}^4$  non singolare ;
- $\mathcal{X}_3^4$  è una varietà determinantale propria, il generico luogo critico ha dimensione 2 e grado 3.



Proiezioni da  $\mathbb{P}^4 \dashrightarrow \mathbb{P}^3$ , siamo nel caso di 2 viste e  $M$  ha dimensioni  $12 \times 5$ . Studio in alcuni casi numerici utilizzando *Macaulay2*.

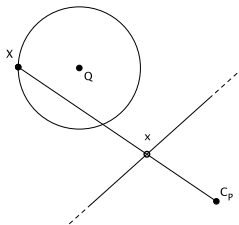
- la componente di dimensione massima è una superficie di grado 3 di  $\mathbb{P}^4$  non singolare ;
- $\mathcal{X}_3^4$  è una varietà determinantale propria, il generico luogo critico ha dimensione 2 e grado 3.

# Proiezioni $\mathbb{P}^4 \dashrightarrow \mathbb{P}^3$

Queste proiezioni si incontrano ad esempio nello studio di una scena non rigida i cui punti sono descritti da:

$$\mathbf{X}_{it} = \mathbf{Q}_i + a_i \cos \phi(t) \mathbf{E}_1 + a_i \sin \phi(t) \mathbf{E}_2.$$

Questa scena può interpretarsi, in una opportuna carta affine, come composta da punti che si muovono di moto circolare.



Per proiezioni  $\mathbb{P}^5 \dashrightarrow \mathbb{P}^3$  il numero minimo di viste è 2.

$M$  è una matrice  $12 \times 6$  per determinare  $\mathcal{X}_3^5$ , dobbiamo annullare i minori di ordine  $6 \times 6$ .

- Studio dei minori di ordine massimo di  $M$ :
  - non più di 4 righe da una vista;
  - minori  $4 \times 6$  tutti nulli;
  - generici  $2 \times 4$  contribuiscono a determinare l'insieme  $\mathcal{X}_3^5$ .
- $I(\mathcal{X}_3^5) = \langle \sum p^\alpha p^\beta r^\gamma r^\delta f \rangle$  dove  $f = \sum_{i,j=1}^4 a_{i,j} p^i r^j$ .
- $\mathcal{X}_3^5 = V(f)$ .
- Singolarità: si dimostra che il generico luogo critico  $\mathcal{X}_3^5$  è non singolare.

Per proiezioni  $\mathbb{P}^5 \dashrightarrow \mathbb{P}^3$  il numero minimo di viste è 2.

$M$  è una matrice  $12 \times 6$  per determinare  $\mathcal{X}_3^5$ , dobbiamo annullare i minori di ordine  $6 \times 6$ .

- Studio dei minori di ordine massimo di  $M$ :
  - non più di 4 righe da una vista;
  - minori  $4 + 3$  tutti nulli;
  - minori  $3 + 3$  contribuiscono a determinare l'ideale  $I(\mathcal{X}_3^5)$
- $I(\mathcal{X}_3^5) = \langle \sum p^\alpha p^\beta r^\gamma r^\delta f \rangle$  dove  $f = \sum_{i,j=1}^4 a_{i,j} p^i r^j$
- $\mathcal{X}_3^5 = V(f)$ .
- Singolarità: si dimostra che il generico luogo critico  $\mathcal{X}_3^5$  è non singolare.

Per proiezioni  $\mathbb{P}^5 \dashrightarrow \mathbb{P}^3$  il numero minimo di viste è 2.

$M$  è una matrice  $12 \times 6$  per determinare  $\mathcal{X}_3^5$ , dobbiamo annullare i minori di ordine  $6 \times 6$ .

- Studio dei minori di ordine massimo di  $M$ :
  - non più di 4 righe da una vista;
  - minori  $4 + 3$  tutti nulli;
  - minori  $3 + 3$  contribuiscono a determinare l'ideale  $I(\mathcal{X}_3^5)$
- $I(\mathcal{X}_3^5) = \langle \sum p^\alpha p^\beta r^\gamma r^\delta f \rangle$  dove  $f = \sum_{i,j=1}^4 a_{i,j} p^i r^j$
- $\mathcal{X}_3^5 = V(f)$ .
- Singolarità: si dimostra che il generico luogo critico  $\mathcal{X}_3^5$  è non singolare.

Per proiezioni  $\mathbb{P}^5 \dashrightarrow \mathbb{P}^3$  il numero minimo di viste è 2.

$M$  è una matrice  $12 \times 6$  per determinare  $\mathcal{X}_3^5$ , dobbiamo annullare i minori di ordine  $6 \times 6$ .

- Studio dei minori di ordine massimo di  $M$ :
  - non più di 4 righe da una vista;
  - minori  $4 + 3$  tutti nulli;
  - minori  $3 + 3$  contribuiscono a determinare l'ideale  $I(\mathcal{X}_3^5)$
- $I(\mathcal{X}_3^5) = \langle \sum p^\alpha p^\beta r^\gamma r^\delta f \rangle$  dove  $f = \sum_{i,j=1}^4 a_{i,j} p^i r^j$
- $\mathcal{X}_3^5 = V(f)$ .
- Singolarità: si dimostra che il generico luogo critico  $\mathcal{X}_3^5$  è non singolare.

Per proiezioni  $\mathbb{P}^5 \dashrightarrow \mathbb{P}^3$  il numero minimo di viste è 2.

$M$  è una matrice  $12 \times 6$  per determinare  $\mathcal{X}_3^5$ , dobbiamo annullare i minori di ordine  $6 \times 6$ .

- Studio dei minori di ordine massimo di  $M$ :
  - non più di 4 righe da una vista;
  - minori  $4 + 3$  tutti nulli;
  - minori  $3 + 3$  contribuiscono a determinare l'ideale  $I(\mathcal{X}_3^5)$
- $I(\mathcal{X}_3^5) = \langle \sum p^\alpha p^\beta r^\gamma r^\delta f \rangle$  dove  $f = \sum_{i,j=1}^4 a_{i,j} p^i r^j$
- $\mathcal{X}_3^5 = V(f)$ .
- Singolarità: si dimostra che il generico luogo critico  $\mathcal{X}_3^5$  è non singolare.

Per proiezioni  $\mathbb{P}^5 \dashrightarrow \mathbb{P}^3$  il numero minimo di viste è 2.

$M$  è una matrice  $12 \times 6$  per determinare  $\mathcal{X}_3^5$ , dobbiamo annullare i minori di ordine  $6 \times 6$ .

- Studio dei minori di ordine massimo di  $M$ :
  - non più di 4 righe da una vista;
  - minori  $4 + 3$  tutti nulli;
  - minori  $3 + 3$  contribuiscono a determinare l'ideale  $I(\mathcal{X}_3^5)$
- $I(\mathcal{X}_3^5) = \langle \sum p^\alpha p^\beta r^\gamma r^\delta f \rangle$  dove  $f = \sum_{i,j=1}^4 a_{i,j} p^i r^j$
- $\mathcal{X}_3^5 = V(f)$ .
- Singolarità: si dimostra che il generico luogo critico  $\mathcal{X}_3^5$  è non singolare.



Per proiezioni  $\mathbb{P}^5 \dashrightarrow \mathbb{P}^3$  il numero minimo di viste è 2.

$M$  è una matrice  $12 \times 6$  per determinare  $\mathcal{X}_3^5$ , dobbiamo annullare i minori di ordine  $6 \times 6$ .

- Studio dei minori di ordine massimo di  $M$ :
  - non più di 4 righe da una vista;
  - minori  $4 + 3$  tutti nulli;
  - minori  $3 + 3$  contribuiscono a determinare l'ideale  $I(\mathcal{X}_3^5)$
- $I(\mathcal{X}_3^5) = \langle \sum p^\alpha p^\beta r^\gamma r^\delta f \rangle$  dove  $f = \sum_{i,j=1}^4 a_{i,j} p^i r^j$
- $\mathcal{X}_3^5 = V(f)$ .
- Singolarità: si dimostra che il generico luogo critico  $\mathcal{X}_3^5$  è non singolare.

Per proiezioni  $\mathbb{P}^5 \dashrightarrow \mathbb{P}^3$  il numero minimo di viste è 2.

$M$  è una matrice  $12 \times 6$  per determinare  $\mathcal{X}_3^5$ , dobbiamo annullare i minori di ordine  $6 \times 6$ .

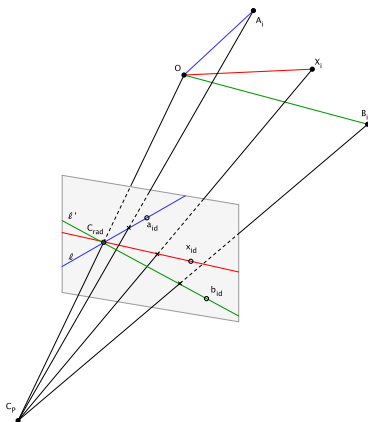
- Studio dei minori di ordine massimo di  $M$ :
  - non più di 4 righe da una vista;
  - minori  $4 + 3$  tutti nulli;
  - minori  $3 + 3$  contribuiscono a determinare l'ideale  $I(\mathcal{X}_3^5)$
- $I(\mathcal{X}_3^5) = \langle \sum p^\alpha p^\beta r^\gamma r^\delta f \rangle$  dove  $f = \sum_{i,j=1}^4 a_{i,j} p^i r^j$
- $\mathcal{X}_3^5 = V(f)$ .
- Singularità: si dimostra che il generico luogo critico  $\mathcal{X}_3^5$  è non singolare.

# Proiezioni $\mathbb{P}^5 \dashrightarrow \mathbb{P}^3$

Queste proiezioni si incontrano ad esempio nello studio di un video distorto radialmente della scena non rigida:

$$\mathbf{X}_i = t_1 \mathbf{A}_i + t_2 \mathbf{B}_i$$

che rappresenta dei punti che si muovono di moto rettilineo uniforme.



# Studio di $\mathcal{X}_h^k$ se $k \equiv h - 1$ modulo $h$

Generalizzazione dei risultati ottenuti nel caso  $\mathcal{X}_3^5$  sfruttando la particolare struttura di  $M$ .

- Un minore costruito estraendo  $h + 1$  righe da una stessa vista è nullo;
- i minori non nulli sono costruiti prendendo  $h$  righe da ogni vista;
- $\mathcal{X}_h^k$  è un'ipersuperficie di grado  $\omega_{k,h}$ ;
- si determina il polinomio  $f$  che la definisce.

# Studio di $\mathcal{X}_h^k$ se $k \equiv h - 1$ modulo $h$

Generalizzazione dei risultati ottenuti nel caso  $\mathcal{X}_3^5$  sfruttando la particolare struttura di  $M$ .

- Un minore costruito estraendo  $h + 1$  righe da una stessa vista è nullo;
- i minori non nulli sono costruiti prendendo  $h$  righe da ogni vista;
- $\mathcal{X}_h^k$  è un'ipersuperficie di grado  $\omega_{k,h}$ ;
- si determina il polinomio  $f$  che la definisce.

# Studio di $\mathcal{X}_h^k$ se $k \equiv h - 1$ modulo $h$

Generalizzazione dei risultati ottenuti nel caso  $\mathcal{X}_3^5$  sfruttando la particolare struttura di  $M$ .

- Un minore costruito estraendo  $h + 1$  righe da una stessa vista è nullo;
- i minori non nulli sono costruiti prendendo  $h$  righe da ogni vista;
- $\mathcal{X}_h^k$  è un'ipersuperficie di grado  $\omega_{k,h}$ ;
- si determina il polinomio  $f$  che la definisce.

# Studio di $\mathcal{X}_h^k$ se $k \equiv h - 1$ modulo $h$

Generalizzazione dei risultati ottenuti nel caso  $\mathcal{X}_3^5$  sfruttando la particolare struttura di  $M$ .

- Un minore costruito estraendo  $h + 1$  righe da una stessa vista è nullo;
- i minori non nulli sono costruiti prendendo  $h$  righe da ogni vista;
- $\mathcal{X}_h^k$  è un'ipersuperficie di grado  $\omega_{k,h}$ ;
- si determina il polinomio  $f$  che la definisce.

# Studio di $\mathcal{X}_h^k$ se $k \equiv h - 1$ modulo $h$

Generalizzazione dei risultati ottenuti nel caso  $\mathcal{X}_3^5$  sfruttando la particolare struttura di  $M$ .

- Un minore costruito estraendo  $h + 1$  righe da una stessa vista è nullo;
- i minori non nulli sono costruiti prendendo  $h$  righe da ogni vista;
- $\mathcal{X}_h^k$  è un'ipersuperficie di grado  $\omega_{k,h}$ ;
- si determina il polinomio  $f$  che la definisce.



Grazie per l'attenzione!